

УДК 537.311

©1993

# ДВУХКОНФИГУРАЦИОННАЯ МОДЕЛЬ ХАББАРДА

Ю.П.Ирхин

Рассмотрена невырожденная модель Хаббарда с учетом различия интегралов переноса  $\beta^{ij}$  в разных конфигурациях ( $i, j = 1, 2$ ). Показано, что хаббардовская щель имеет смешанный кулоновско-гибридизационный характер, чем объясняется ее сохранение в наимизшем приближении вплоть до  $Q = 0$  ( $Q$  — кулоновское взаимодействие). Зависимость  $\beta^{ij}(Q)$  является важным фактором в эффекте перехода металл-диэлектрик. Обсуждается проблема несохранения числа состояний в высших приближениях теории. Вычислена парамагнитная восприимчивость в зависимости от  $Q$  для случая  $\beta^{ij} = \beta$ .

1. Модель Хаббарда даже в своем простейшем варианте для  $s$ -электронов содержит еще несколько нерешенных проблем. К важнейшим из них относятся: 1) существование щели, 2) сохранение числа состояний, 3) возможность ферромагнетизма. В настоящей работе мы затронем первые два вопроса и рассмотрим их в рамках более общей трактовки модели Хаббарда, учитывающей изменение не только спектра под влиянием кулоновского взаимодействия, но и волновых функций, соответствующих двум различным конфигурациям.

Вопрос о щели, которая в простейших приближениях сохраняется вплоть до  $Q = 0$  (что противоречит наглядным представлениям), обсуждался самим Хаббардом [1]. После учета корреляционных поправок от рассеяния и резонансного уширения ему удалось получить захлопывание щели для «полукруговой» плотности состояний при значении  $Q/\beta < \sqrt{3}/2$  ( $\beta$  — интеграл переноса). Аналогичные результаты были получены и другими авторами [2,3]. При этом в работе [3] было исследовано нарушение сохранения числа состояний, возникающее в некоторых приближениях теории при учете членов высших порядков. Такое нарушение указывает на существенную неточность использованных приближений и может сделать ненадежными, в частности, результаты, связанные с захлопыванием щели и переходом металл-диэлектрик. Сам Хаббард в работе [1] в качестве важной проблемы отметил получающееся у него неравенство единице чисел состояний на атом в каждой из подполос при числе электронов  $n = 1$ . Однако в конкретном расчете плотности состояний (см. рис. 5 в [1]) отклонения от единицы, по-видимому, не наблюдается. В данной работе указанные вопросы рассматриваются с точки зрения предлагаемой двухконфигурационной модели.

## 2. Рассмотрим переход от одноэлектронного представления гамильтониана Хаббарда

$$\mathcal{H} = \sum_{\nu\nu'\sigma} \beta_{\nu\nu'} a_{\nu\sigma}^+ a_{\nu'\sigma} + \frac{1}{2} Q \sum_{\nu\sigma} n_{\nu\sigma} \nu_{\nu-\sigma}, \quad (1)$$

( $\nu$  — номер узла,  $\sigma = \pm 1/2$  — проекция спина,  $\beta_{\nu\nu'}$  — интеграл переноса) к представлению  $X$ -операторов переходов между конфигурациями 0,  $\sigma$ , 2, используя точные соотношения [4,5]

$$a_{\nu\sigma}^+ = (-1)^{1/2-\sigma} X_\nu(2, -\sigma) + X_\nu(\sigma, 0),$$

$$a_{\nu\sigma} = (-1)^{1/2-\sigma} X_\nu(-\sigma, 2) + X_\nu(0, \sigma). \quad (2)$$

В результате получаем (см. Приложение)

$$\mathcal{H} = \sum_{\nu\sigma} \left\{ \varepsilon_{\nu\sigma}^{(1)} X_\nu(\sigma, \sigma) + \varepsilon_{\nu\sigma}^{(2)} X_\nu(2, 2) \right\} + \sum_{\nu\nu'\sigma} \left\{ \beta_{\nu\nu'}^{11} X_\nu(\sigma, 0) X_{\nu'}(0, \sigma) + \beta_{\nu\nu'}^{22} X_\nu(2, -\sigma) X_{\nu'}(-\sigma, 2) + (-1)^{1/2-\sigma} [\beta_{\nu\nu'}^{21} X_\nu(2, -\sigma) X_{\nu'}(0, \sigma) + \text{э.с.}] \right\}. \quad (3)$$

Здесь  $\varepsilon_{\nu\sigma}^{(1)}$  и  $\varepsilon_{\nu\sigma}^{(2)}$  — диагональные энергии электронов в конфигурациях с одним и двумя электронами соответственно (причем без учета изменения волновых функций  $\varepsilon_{\nu\sigma}^{(2)} = \varepsilon_{\nu\sigma}^{(1)} + Q$ ), а  $\beta_{\nu\nu'}^{ij}$  — матричные элементы перехода электрона между состояниями  $i, j = 1, 2$  у узлов  $\nu$  и  $\nu'$ . Если все  $\beta^{ij} = \beta$ , то гамильтониан (3) тождественно равен (1). Однако если мы хотим учсть различие волновых функций в конфигурациях  $s^1$  и  $s^2$ , т. е. действительно перейти к двухконфигурационному приближению, то необходимо сохранить индексы  $i$  и  $j$  у  $\beta^{ij}$ . В новом представлении кулоновская энергия диагональна, но зато член переноса приобрел более сложный вид, учитывающий различие в переносе одиночных электронов по пустым узлам и двоек по одиночным узлам. Кроме того, в (3) появились члены рождения и уничтожения двоек и дырок (последние два слагаемых), которые могут быть интерпретированы так же, как гибридизация двух конфигураций в периодическом потенциале решетки.

Для вычисления  $\beta^{ij}$  необходимо провести расчет новых волновых функций с учетом кулоновского взаимодействия  $Q$ , что представляет достаточно сложную задачу. Однако нетрудно высказать некоторые качественные соображения. Во-первых, при  $Q = 0$  все  $\beta^{ij} = \beta$ . При  $Q \neq 0$  зависимость  $\beta^{ij}(Q)$  будет в основном определяться изменением экранирования ионов решетки электронами. Вводя экранированный потенциал  $V_i(r) = -Z_i^* e/r$ , где  $Z_i^* = Z - \sigma_i(Q)$  ( $Z$  — заряд ядра,  $\sigma_i(Q)$  — постоянная экранирования для верхней и нижней ( $i = 1, 2$ ) хаббардовских подзон), легко провести оценку зависимости  $\beta^{ij}(Q)$ , используя, например, водородоподобные радиальные атомные функции  $\psi_i(r) \sim \exp(-Z_i^* r/n_0 a_0)$ .

Во-первых, с ростом  $Q$  верхняя подполоса движется вверх и средний радиус атомных орбит растет, что ведет к увеличению экранирования

$\sigma_2(Q)$  и уменьшению  $Z_2^*$ . При этом из-за экспоненциального характера волновых функций эта зависимость может быть очень резкой, что приведет к быстрому увеличению  $\beta^{22}(Q)$  с ростом  $Q$ . Для нижней подполосы следует ожидать более слабой зависимости  $\sigma_1(Q)$ , так как энергетически она смещается слабо и экранирование будет в основном изменяться за счет уменьшения числа двоек с ростом  $Q$ . В соответствии с этим величина  $\beta^{12}(Q)$  будет расти с  $Q$  слабее, чем  $\beta^{22}(Q)$ , а  $\beta^{11}(Q)$  будет меняться еще слабее. Эта картина вполне соответствует обычным физическим представлениям об увеличении коллективизации электронов с возрастанием их энергии.

Изложенные выше элементарные рассуждения сильно изменяют весь подход к проблеме перехода металл-изолят и к вопросу существования щели в модели Хаббарда. Вместо обычно рассматриваемого параметра  $Q/\beta$ , определяющего условие существования щели, появляется параметр типа  $Q/(\beta^{11}(Q) + \beta^{22}(Q))$ . Кроме того, появляется второй параметр — гибридизация  $\beta^{12}(Q)$ , — существенно влияющий на весь эффект.

Как отмечалось самим Хаббардом [1], полученный им фазовый переход имеет весьма размытый характер, так как величина щели вблизи критической точки определяется зависимостью

$$\Delta \sim [(\beta/Q)_{\text{крит}} - (\beta/Q)]^{3/2}, \quad (4)$$

что противоречит предсказанию Мотта о резком характере перехода. Резкая зависимость  $\beta^{ij}(Q)$  может устранить это противоречие.

Подводя итог данному общему анализу, отметим, что обычный вариант модели Хаббарда содержит внутреннее противоречие: равенство  $\beta^{11} = \beta^{22} = |\beta^{12}| = \beta$  физически оправдано лишь при  $Q \rightarrow 0$ , в то время как расцепление на разных узлах соответствует большим значениям  $Q > \beta$ .

3. Возвратимся теперь снова к рассмотрению гамильтонiana (3). Для получения спектра и плотности состояний введем двухвременные функции Грина

$$G_{\nu\nu'}(i,j | i',j') = \langle \langle X_\nu(i,j) | X_{\nu'}(i',j') \rangle \rangle. \quad (5)$$

Записывая уравнения для функций (5), а затем для функций Грина более высокого порядка и проводя расцепление на разных узлах на втором этапе [4,5], получим замкнутую систему уравнений, определяющую спектр квазичастич в двух конфигурациях  $s^1$  (одиночные электроны) и  $s^2$  (электроны в двойках)

$$E_{1,2}^\sigma(\mathbf{k}) = \frac{1}{2} \left\{ \varepsilon_\sigma^{(1)} + \varphi_{0\sigma} \beta^{11}(\mathbf{k}) + \varepsilon_\sigma^{(2)} + \varphi_{-\sigma 2} \beta^{22}(\mathbf{k}) \pm \right.$$

$$\left. \pm \left[ \left( \varepsilon_\sigma^{(1)} + \varphi_{0\sigma} \beta^{11}(\mathbf{k}) - \varepsilon_\sigma^{(2)} - \varphi_{-\sigma 2} \beta^{22}(\mathbf{k}) \right)^2 + 4\varphi_{0\sigma} \varphi_{-\sigma 2} |\beta^{12}(\mathbf{k})|^2 \right]^{1/2} \right\}, \quad (6)$$

где  $\varepsilon_\sigma^{(i)}$  и  $\beta^{ij}(\mathbf{k})$  — компоненты Фурье величин  $\varepsilon_{\nu\sigma}^{(i)}$  и  $\beta_{\nu\nu'}^{ij}$ ;  $\varphi_{0\sigma} = \bar{X}_0 + \bar{X}_\sigma$ ,  $\varphi_{-\sigma 2} = \bar{X}_2 + \bar{X}_{-\sigma}$  — комбинации средних чисел заполнения.

Спектр (6) соответствует простейшему расцеплению первой работы Хаббарда [6] и не учитывает поправок, получающихся в следующем порядке, от рассеяния и резонансного уширения, приводящих к появлению

неаналитичности функций Грина (разрезы на действительной оси) и размытию плотности состояний. В нашем представлении  $X$ -операторов это соответствует пренебрежению функциями Грина типа

$$G^{(3)} \left( \nu_1 2\sigma, \nu_0 \sigma, \nu'_1 \sigma' 2 \mid \nu' \sigma' 0 \right), \quad (7)$$

учет которых также приводит к появлению разрезов на действительной оси.

Однако в отличие от результатов работ Хаббарда [1,6] и работы [3] в нашем случае нет нарушения закона сохранения числа состояний. В частности, при числе электронов на атом  $n = 1$  емкость каждой из подполос строго равна 1, а полная емкость равна 2 для всех  $n$ .

Из (6) видно, что при  $\beta^{12} = 0$  спектр распадается на две независимых ветви

$$\begin{aligned} E_1^\sigma(\mathbf{k}) &= \varepsilon^{(1)} + \varphi_{0\sigma} \beta^{11}(\mathbf{k}), \\ E_2^\sigma(\mathbf{k}) &= \varepsilon^{(2)} + \varphi_{-\sigma 2} \beta^{22}(\mathbf{k}), \end{aligned} \quad (8)$$

щель между которыми

$$\Delta = E_2^{\min}(\mathbf{k}) - E_1^{\max}(\mathbf{k}) \sim Q - \beta_{\min}^{22} - \beta_{\max}^{11} \quad (9)$$

исчезает при  $Q \lesssim \beta_{\min}^{22}(\mathbf{k}) + \beta_{\max}^{11}(\mathbf{k})$  в соответствии с наглядными представлениями. В (9) через  $\beta_{\min}^{ij}$  и  $\beta_{\max}^{ij}$  обозначены минимальное и максимальное значения величин  $\varphi \beta^{ij}(\mathbf{k})$ , соответствующих полуширинам подполос 1 и 2. Однако при  $\beta^{12}(\mathbf{k}) \neq 0$  такого простого условия исчезновения щели нет, поскольку она теперь определяется не только  $Q$ , но и гибридизацией  $\beta^{12}$ .

Обычная форма гамильтониана Хаббарда (1) соответствует условию  $\beta^{ij} = \beta \neq 0$ , откуда следует, что щель в этом случае вовсе не должна обращаться в нуль; при  $Q < 2\beta$  из-за наличия гибридизации  $\beta^{12} = \beta$ . Действительно, из (6) тогда имеем

$$\Delta = -2\beta + \sqrt{Q^2 + 4\beta^2}. \quad (10)$$

Формула (10) в целях упрощения записи получена для  $n = 1$ . Мы видим, что щель теперь имеет смешанный кулоновско-гибридизационный характер и отлична от нуля при всех  $Q > 0$ , хотя при малых  $Q \ll \beta$  имеет малую величину  $\sim Q^2/\beta$ . Именно такой результат и получается в реальных расчетах с гамильтонианом (1) при расцеплении типа первой работы Хаббарда. И это является естественным физическим результатом, не требующим (как это часто считается в литературе) обязательного исправления. Учет следующих поправок может, конечно, привести к захлопыванию щели при  $Q < \beta$  за счет размытия плотности состояний. Однако последнее есть самостоятельный физический эффект.

Таким образом, мы показали, что естественное физическое условие обращения щели в нуль при  $Q < \beta_{\min}^{22} + \beta_{\max}^{11}$  выполняется в отсутствие гибридизации. Наоборот, гибридизация  $\beta^{12}$  сохраняет щель вплоть до  $Q = 0$ , так как щель имеет комбинированный кулоновско-гибридизационный характер в соответствии с (10). При этом характер фазового перехода металл-диэлектрик существенно зависит от вида

функций  $\beta^{ij}(Q)$ . В частности, правдоподобен следующий вариант. При малых  $Q \ll \beta^{11} + \beta^{22}$  и  $Q \ll |\beta^{12}|$  существующая в низшем приближении гибридизационная щель  $\Delta \sim |\beta^{12}|$  в действительности захлопнута из-за размытия и деформации спектра в высших приближениях, так что система находится в металлической фазе. Если далее рост  $Q$  опережает в некотором интервале его изменения рост  $\beta^{12}(Q)$  и  $\beta^{22}(Q)$  (при  $\beta^{11}$ , слабо зависящем от  $Q$ ), то может произойти переход в диэлектрическую фазу, если размытие не будет сильно расти с  $Q$ . Затем, однако, должен наступить период быстрого экспоненциального роста  $\beta^{22}$  и  $\beta^{12}$  с  $Q$ , что может привести снова к переходу в металлическое состояние. При этом характер фазового перехода будет определяться функциями  $\beta^{ij}(Q)$ , имеющими весьма резкую зависимость в некотором интервале  $Q$ .

4. Перейдем теперь к рассмотрению проблемы сохранения числа состояний в модели Хаббарда. Помимо замечаний, сделанных в начале статьи относительно работ [1,6] и [3], отметим еще следующее. Несохранение объема Ферми наблюдалось в работе [7], авторы которой связывают его с нарушением теоремы Латтинжера в системах с сильным взаимодействием. Однако в [3] несохранение числа состояний получается лишь в некоторых вариантах различных приближений, в частности при использовании методики самосогласования, приводящей к возникновению неаналитичности типа разреза вдоль мнимой оси. Представляет интерес дальнейшее исследование связи аналитических свойств функции Грина в различных приближениях с сохранением числа состояний квазичастич.

В этом разделе мы покажем в общем виде, что по крайней мере в приближении работы Хаббард I сохранение числа состояний всегда имеет место при условии нормировки вероятности всех состояний квазичастич на единицу. В целях простоты изложения будет рассмотрен случай  $\beta^{ij} = \beta$ .

Вычисляя функции Грина, соответствующие спектру (6), легко получить следующие формулы для плотности состояний единиц и двоек ( $i = 1, 2$ ):

$$g_{\sigma}^{(i)}(E) = \Phi_i(E) g_0(E'),$$

$$\Phi_1(E) = \frac{(E - Q)^2}{(E - \varphi_{0\sigma}Q)^2} \varphi_{0\sigma}^2, \quad \Phi_2(E) = \varphi_{-\sigma 2}^2 \frac{E^2}{(E - \varphi_{0\sigma}Q)^2}, \quad (11)$$

$$E' = \frac{E(E - Q)}{E - \varphi_{0\sigma}Q}, \quad (12)$$

где  $g_0(E')$  есть исходная плотность состояний до учета кулоновского взаимодействия.

Из (11) и (12) видно, что если  $g_0(E')$  задана в интервале  $[a, b]$ , то новые плотности  $g_{\sigma}^{i\pm}(E)$  определены в интервалах  $[a^{\pm}, b^{\pm}]$ , границы которых находятся из уравнения (12), имеющего два решения  $E = E^{\pm}$  (верхняя и нижняя подзоны).

Теперь можно прямым образом показать, что для любых функций  $g_0(E')$  полное число состояний  $N$  есть

$$N = \sum_{\sigma, i=1,2} N_{i\sigma} = \sum_{\sigma, i} \left[ \int_{a^-}^{b^-} g_{\sigma}^{(i)}(E) dE + \int_{a^+}^{b^+} g_{\sigma}^{(i)}(E) dE \right] = 2 \quad (13)$$

при условии, что

$$\varphi_{0\sigma} + \varphi_{-\sigma 2} = 1. \quad (14)$$

Это и решает поставленную задачу. Условие (14) физически соответствует тому, что полная вероятность нахождения квазичастицы в каком-либо состоянии есть единица. Следует подчеркнуть важность учета нормировки типа (14). Ранее это отмечалось в работе [8].

При доказательстве (13) удобно перейти к переменной  $E'$  под знаком интегралов ( $dE \rightarrow (dE/dE')dE'$ ). Тогда

$$\begin{aligned} N_{i\sigma} &= \int_{a^-}^{b^-} g_{\sigma}^{(i)}(E) dE + \int_{a^+}^{b^+} g_{\sigma}^{(i)}(E) dE = \\ &= \int_a^b g_0(E') \left[ \frac{dE^-}{dE'} \Phi_i^-(E') + \frac{dE^+}{dE'} \Phi_i^+(E') \right] dE' = \begin{cases} \varphi_{0\sigma}, & (i = 1), \\ \varphi_{-\sigma 2}, & (i = 2), \end{cases} \\ \Phi_i^{\pm}(E') &= \Phi_i(E = E^{\pm}(E')), \end{aligned} \quad (15)$$

откуда видно, что полное число состояний для  $s$ -электронов разбивается между квазичастицами  $N_{1\sigma}$  и  $N_{2\sigma}$  пропорционально множителям  $\varphi_{0\sigma}$  и  $\varphi_{-\sigma 2}$ , которые сами, вообще говоря, зависят от  $Q$ . Такое разбиение связано, возможно, с чем-то аналогичным эффекту «исключенного объема», когда электроны не могут при своем движении попасть в узлы, занятые двойками. Заметим, что и  $N_{1\sigma}$  и  $N_{2\sigma}$  существуют в обеих подполосах, что связано с гибридизацией этих подполос. Именно для этих величин выполняется правило сумм. Напротив, для чисел состояний в каждой из подполос, вычисляемых по формулам

$$N^{\pm} = \sum_{\sigma} \int_{a^{\pm}}^{b^{\pm}} \left[ g_{\sigma}^{(1)}(E) + g_{\sigma}^{(2)}(E) \right] dE, \quad (16)$$

какие-либо простые соотношения отсутствуют. Таким образом, при наличии гибридизации сохраняются в смысле соотношения (15) числа состояний квазичастиц в обеих подполосах, а не в каждой подполосе отдельно. Только лишь в частном случае  $n = 1$  величина (16) равна единице для  $N^{\pm}$ . Это, однако, по-прежнему расходится с замечанием Хаббарда [1,6], который указывает, что в его расчете при  $n = 1$  лишь  $N^+ + N^- = 2$ , а сами  $N^{\pm} \neq 1$ . Причина такого результата в [1,6] остается неясной.

В заключение этого раздела сделаем еще несколько замечаний. Выше уже указывалось, что учет высших поправок в функциях Грина приводит к появлению разрезов и различных типов неаналитичности. При этом добавки к собственно-энергетической части являются, вообще говоря, комплексными, причем их мнимая часть соответствует затуханию квазичастиц, а действительная — энергетическому сдвигу. При правильном учете обоих факторов число состояний должно строго сохраняться. Однако в результате приближений может легко произойти раскомпенсация поправок типа размытия и сдвига в данном порядке теории, что приведет к нарушению сохранения полного числа состояний. Была бы интересной проверка конкретных расчетов, имеющихся в литературе, в этом отношении, и в частности проверка выполнения соотношений Крамерса-Кронига. Пока этого не сделано, вряд ли можно считать надежными литературные данные по величине и зависимости хаббардовской щели от  $Q$  вблизи перехода металл-диэлектрик, т. е. в области малых  $Q$ .

5. Формулы (11) могут быть использованы для записи уравнений для чисел заполнения  $X_{i\sigma}$  и химпотенциала  $\zeta$ , причем после добавления условия (14) получается полная замкнутая система уравнений

$$X_{i\sigma} = \int g_{\sigma}^{(i)}(E) f(E) dE, \quad i = 1, 2 \quad (17)$$

$$X_0 + \sum_{\sigma} X_{1\sigma} + X_2 = 1, \quad \sum_{\sigma} X_{1\sigma} + 2X_2 = n. \quad (18)$$

Заметим, что интегралы (17) в отличие от (13) не могут быть сведены к одному  $\int_a^b g_{\sigma}(E') dE' = 1$  ввиду того, что после замены  $E = E^{-}(E')$  и  $E = E^{+}(E')$  функции Ферми  $f(E^{-})$  и  $f(E^{+})$  оказываются различными в интервалах  $[a^{-}, b^{-}]$ ,  $[a^{+}, b^{+}]$ .

Для более конкретного анализа можно задать функцию  $g_0(E')$ . В простейшем случае прямоугольной плотности  $g_0 = 1/2\beta = \text{const}$  в интервале  $[a, b]$  интегралы от  $g_{\sigma}^i$  при  $T = 0$  берутся аналитически и мы получаем для чисел частиц в верхней  $X_i^{+}$  и нижней  $X_i^{-}$  подполосах следующие формулы:

$$\begin{aligned} X_{1\sigma}^{\pm} &= \frac{\varphi_{0\sigma}^2}{2\beta} \left( z^{\pm} - 2Q\varphi_{-\sigma 2} \ln \frac{z_{0\sigma}^{\pm}}{A_{0\sigma}^{\pm}} + \varphi_{-\sigma 2}^2 Q^2 \frac{z^{\pm}}{z_{0\sigma}^{\pm} A_{0\sigma}^{\pm}} \right), \\ X_{2\sigma}^{\pm} &= \frac{\varphi_{-\sigma 2}^2}{2\beta} \left( z^{\pm} + 2Q\varphi_{0\sigma} \ln \frac{z_{0\sigma}^{\pm}}{A_{0\sigma}^{\pm}} + \varphi_{0\sigma}^2 Q^2 \frac{z^{\pm}}{z_{0\sigma}^{\pm} A_{0\sigma}^{\pm}} \right), \end{aligned} \quad (19)$$

где

$$z^{\pm} = \zeta - a^{\pm}, \quad z_{0\sigma}^{\pm} = \zeta - Q\varphi_{0\sigma}, \quad A_{0\sigma}^{\pm} = a^{\pm} - Q\varphi_{0\sigma}. \quad (20)$$

В общем случае решение системы (18), (19) может быть проведено в двух вариантах. В первом из них входящие в правые части (19) комбинации средних чисел заполнения  $\varphi_{0\sigma}$  и  $\varphi_{-\sigma 2}$  считаются известными и равными их средним значениям по нулевому гамильтониану

$$\varphi_{0\sigma} = \bar{X}_0 + \bar{X}_{\sigma} = \overline{(1 - n_{\sigma})(1 - n_{-\sigma})} + \overline{n_{\sigma}(1 - n_{-\sigma})} = 1 - n_{-\sigma},$$

$$\varphi_{-\sigma 2} = \bar{X}_2 + \bar{X}_{-\sigma} = \overline{n_\sigma n_{-\sigma}} + \overline{n_{-\sigma}(1-n_\sigma)} = n_{-\sigma}. \quad (21)$$

Если исходное состояние электронной системы до учета  $Q$  было парамагнитным  $n_\sigma = n_{-\sigma}$ , то

$$\varphi_{0\sigma} = \varphi_0 = \frac{1}{2}(2-n), \quad \varphi_{-\sigma 2} = \varphi_2 = \frac{n}{2} \quad (22)$$

и из (19) видно, что учет  $Q$  не может привести к появлению ферромагнетизма, так как правые части в (19) не зависят от  $\sigma$  (значение  $\zeta$  в этом случае также не зависит от  $\sigma$ ), т. е.

$$X_{1\sigma}^\pm = X_{1-\sigma}^\pm, \quad X_{2\sigma}^\pm = X_{2-\sigma}^\pm. \quad (23)$$

Если система находится во внешнем магнитном поле  $H$ , так что при  $Q = 0$  имеет место парамагнетизм Паули

$$m = \mu_B(n_\sigma - n_{-\sigma}), \quad \chi_P = \frac{dm}{dH} = \mu_B^2 g(\zeta'), \quad (24)$$

то при  $Q > 0$  можно найти отношение «усиленной» парамагнитной восприимчивости к восприимчивости Паули

$$\chi^\pm = \frac{\mu_B (X_{1\sigma}^\pm - X_{1-\sigma}^\pm)}{2\sigma m}, \quad (25)$$

где знаки  $\pm$  следует брать для  $\zeta$ , лежащего в верхней или нижней подполосе соответственно. Сохраняя только линейные члены в разложении по  $m$  в (19) и считая, что  $\zeta$  не содержит таковых (это справедливо для прямоугольной плотности  $g_0(E')$ ), получаем для нижней подполосы при  $T = 0$  ( $\chi$  — безразмерно в соответствии с (25), остальные энергетические параметры в единицах  $\beta = 1$ , т. е. тоже безразмерны)

$$\begin{aligned} \chi^- = \frac{1}{2} \left\{ n(2-n)\zeta^- - 2\varphi_0^2\alpha - 2\varphi_0^2\varphi_2 n Q^2 \frac{\zeta^-}{z_0^- A_0^-} + \frac{2Q\alpha\varphi_2}{A_0^-} - 2n(2-n)\varphi_2 Q \ln \frac{z_0^-}{A_0^-} + \right. \\ \left. + \frac{1}{2}\varphi_2^2 Q^2 \left[ \frac{2\varphi_0(n\zeta^- - \alpha\varphi_0)}{z_0^- A_0^-} + \varphi_0^2 \zeta^- \frac{QnA_0^- + (Qn - 2\alpha)z_0^-}{z_0^{-2} A_0^{-2}} \right] \right\}, \end{aligned} \quad (26)$$

где использованы разложения

$$\begin{aligned} a_\sigma^- = a_0^- + 2\sigma\alpha m, \quad n_\sigma = \frac{n}{2}(1 + 2\sigma m), \\ \alpha = -\frac{nQ}{2\sqrt{(Q-1)^2 + 4\varphi_0 Q}}, \end{aligned} \quad (27)$$

а через величины  $\zeta^-$ ,  $z_0^-$  и  $A_0^-$  обозначены значения параметров (20) при  $m = 0$ . Атомный предел  $\chi$  рассмотрен в [9].

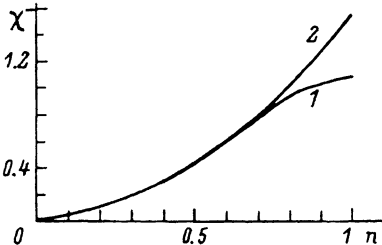


Рис. 1. Зависимость относительной восприимчивости  $\chi^-$  от числа электронов  $n$  в нижней подполосе для разных значений кулоновского взаимодействия  $Q$ .

1 —  $Q = 1$ , 2 — 5.

Формула (25) содержит только восприимчивость одиночных электронов, описываемых операторами  $X_{1\sigma}$ . При этом предельное значение  $\chi^-$  при  $Q \rightarrow 0$  есть

$$\lim_{Q \rightarrow 0} \chi^- = \frac{n(2-n)}{2} (\zeta - a_0^-), \quad (28)$$

что не совпадает (из-за появления добавочного множителя  $n(2-n)/2$ ) со значением паулиевской восприимчивости. Отсутствие предельного перехода связано с тем, что при выводе (26) использовалось разложение по внешнему магнитному полю, предполагаемому меньшим всех остальных параметров. При  $Q \rightarrow 0$  это становится несправедливым, так как в этом случае двойки будут распадаться под влиянием внешнего поля, что не учитывается в расчетах. При этом вклад двоек аналогично формуле (15) будет  $\sim \varphi_{-\sigma 2} \sim n^2/2$ , что вместе с (26) компенсирует добавочный фактор, имеющийся во вкладе единиц. Для получения правильного предела необходимо сначала устремить  $Q \rightarrow 0$ , а затем производить линейное разложение по  $H$ .

Однако при больших  $Q$  вклад двоек в  $\chi^-$  исчезает и мы видим из (26), что «усиленная» хаббардовская восприимчивость имеет существенно другую зависимость от  $n$  (т. е. от заполнения зоны), чем обычная восприимчивость Паули.

Графики  $\chi^-(n)$  и  $\chi^-(Q)$ , соответствующие (26), приведены на рис. 1 и 2. Для  $\zeta$  использовано парамагнитное значение. Из этих рисунков видно, что «усиленная» восприимчивость может быть как меньше, так и больше исходной паулиевской восприимчивости. Помимо изменения числа двоек с  $n$  и  $Q$  на эффект «усиления» влияет также изменение формы подполос с разными  $\sigma$  и чисел состояний в них, которые существенно зависят от  $n$  и  $Q$  и становятся различными для разных  $\sigma$ .

Вторым вариантом решения (18), (19) является самосогласование. Будем считать, что значения  $\bar{X}_{i\sigma}$ , входящие в  $\varphi_{0\sigma}$  и  $\varphi_{-\sigma 2}$ , определяются не как средние по нулевому гамильтониану, а совпадают с истинными значениями искомых  $X_{i\sigma}$ , стоящих слева в (19). Это возможно лишь для ферромагнитного случая (или для парамагнетика во внешнем поле), по-

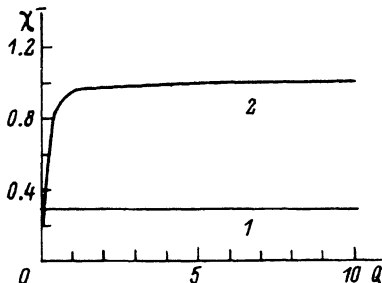


Рис. 2. Зависимость  $\chi^-(Q)$  в нижней подполосе для  $n = 0.4$  (1) и  $0.8$  (2).

сколько, как было указано выше, в отсутствие намагниченности

$$\varphi_{0\sigma} \equiv \varphi_{0-\sigma} = \frac{1}{2}(2-n), \quad \varphi_{-\sigma 2} \equiv \varphi_{\sigma 2} = n/2$$

строго определены и не зависят от  $Q$ . Ввиду сложности решение может быть получено только в численном виде. При этом прежде всего необходимо исследовать возможность существования ферромагнитных решений. Эти вопросы будут рассматриваться нами позднее.

Автор благодарен Е.В.Розенфельду и А.А.Сивенцеву за обсуждение.

## ПРИЛОЖЕНИЕ

Преобразование гамильтониана (1) в (3) требует некоторых пояснений.

Следует заметить, что при  $\beta^{ij} \neq \beta$  гамильтониан (3) соответствует новому базису волновых функций многоэлектронного (МЭ) (в нашем случае двухэлектронного) типа, что в принципе дает возможность учета кулоновского взаимодействия, включающего в себя корреляцию, уже в нулевом приближении.

Действительно, согласно теории атомных спектров для двух электронов, имеем

$$\psi_T(r_1, r_2) = \sum_{\gamma_1, \gamma_2} C_{\gamma_1, \gamma_2}^{\Gamma} \psi_{\gamma_1, \gamma_2}(r_1, r_2), \quad (\text{П.1})$$

где  $\gamma_1, \gamma_2$  — наборы одноэлектронных (ОЭ) квантовых чисел (например,  $n, s, l, m_s, m_l$ ), а  $\Gamma$  содержит МЭ квантовые числа (например,  $n, S, L, M_s, M_L$ ). Коэффициенты  $C_{\gamma_1, \gamma_2}^{\Gamma}$  связаны с коэффициентами Клебша—Гордана, а функция  $\psi_{\gamma_1 \gamma_2}(r_1, r_2)$  может быть в простейшем случае записана в виде детерминанта Слетеера из ОЭ функций  $\psi_{\gamma_1}(r_1), \psi_{\gamma_2}(r_2)$ . Другим вариантом представления функции  $\psi_{\gamma_1 \gamma_2}(r_1, r_2)$  является использование существенно двухэлектронных функций, которые уже не могут быть записаны в виде произведения ОЭ функций, что соответствует учету корреляций. Для двух электронов в качестве таких функций могут быть взяты известные в литературе функции для атома гелия, явно зависящие от расстояния  $r_1 - r_2$  [10].

В ОЭ гамильтониане Хаббарда (1) еще нет различия между функциями одиночных узлов и двоек. Диагонализация кулоновского взаимодействия в (3) и соответствующее снятие вырождения позволяют зафиксировать такое различие, что ведет к неравенству  $\beta^{ij} \neq \beta$ . При этом оставшиеся недиагональными в этом новом представлении члены переноса принимают форму, явно учитывающую корреляцию: перенос электрона между узлами становится зависящим от присутствия второго электрона на этих узлах.

Если при  $\beta^{ij} \neq \beta$  осуществить теперь обратный переход от операторов  $X$  к ОЭ операторам  $a_{\gamma}$  [4,5]

$$X(\sigma, \sigma) = n_{\sigma}(1 - n_{-\sigma}), \quad X(2, 2) = n_{\sigma}n_{-\sigma} \quad (\text{П.2})$$

и т.д., то члены переноса выражаются через произведения  $(1 - n_{\nu-\sigma})(1 - n_{\nu'-\sigma})a_{\nu\sigma}^+a_{\nu'\sigma}$  (перенос одиночных электронов между пустыми узлами  $\nu$  и  $\nu'$ ),  $n_{\nu-\sigma}n_{\nu'-\sigma}a_{\nu\sigma}^+a_{\nu'\sigma}$  (перенос двоек по одиночным узлам) и т.д. Физический смысл появления таких произведений высокого порядка по ОЭ операторам вполне очевиден — они учитывают корреляцию в амплитудах вероятности переноса между электронами  $\sigma$  и  $-\sigma$  на узлах  $\nu$  и  $\nu'$ . При  $\beta^{ij} = \beta$  эта корреляция исчезает и гамильтониан (3) тождественно равен (1). Соотношения (П.2) есть операторный аналог формулы (1).

Заметим в заключение, что интегралы переноса двоек в МЭ записи

$$\beta_{\nu\nu'}^{\Gamma\Gamma'} = \int dr_1 dr_2 \psi_{\nu\Gamma}(r_1, r_2) [V(r_1) + V(r_2)] \psi_{\nu'\Gamma'}(r_1, r_2) \quad (\text{П.3})$$

в соответствии с указанными выше двумя случаями выбора волновых функций могут быть или сведены к ОЭ виду или оставлены в форме (П.3). Возможная зависимость  $\beta_{\nu\nu'}^{\Gamma\Gamma'}$  от величины кулоновского взаимодействия  $Q$  в рамках простых представлений об экранировании заряда ядра обсуждена в тексте статьи.

### Список литературы

- [1] Hubbard J. // Proc. Roy. Soc. A. 1964. V. 281. N. 1386. P. 401–419.
- [2] Зайцев Р.О. // Препринт ИАЭ № 3927. М., 1984. С. 60.
- [3] Anokhin A.O., Irkhin V.Yu. // Phys. Stat. Sol. (b). 1991. V. 165. N. 1. P. 129–142.
- [4] Ирхин Ю.П. // Препринт ИФМ. Свердловск, 1973. С. 35.
- [5] Ирхин Ю.П. // ДАН СССР. 1972. Т. 203. № 4. С. 783–786.
- [6] Hubbard J. // Proc. Roy. Soc. A. 1963. V. 276. N 1395. P. 238–257.
- [7] Максимов Л.А., Кикоин К.А. // ФММ. 1969. Т. 28. № 1. С. 43–52.
- [8] Yoffa E.J., Rodrigues A.W., Jr., Adler D. // Phys. Rev. 1979. V. 19. N. 2. P. 1203–1212.
- [9] Карпенко В.В., Кузнецов А.В., Фальковская Л.Д. // ФММ. 1985. Т. 59. № 1. С. 192–194.
- [10] Бете Г. Квантовая механика. М., 1965. С. 333.

Институт физики металлов УрО РАН  
Екатеринбург

Поступило в Редакцию  
14 апреля 1992 г.  
В окончательной редакции  
26 октября 1992 г.